

МІНІСТЕРСТВО ОСВІТИ І НАУКИ УКРАЇНИ

ОДЕСЬКА ДЕРЖАВНА АКАДЕМІЯ  
БУДІВництва та архітектури

АКАДЕМІЯ БУДІВництва України

# *BІСНИК*

ОДЕСЬКОЇ ДЕРЖАВНОЇ АКАДЕМІЇ  
БУДІВництва та архітектури

Випуск № 47

Частина 2

*До 70-річчя від дня народження Заслуженого діяча  
науки і техніки України, доктора технічних наук,  
професора Віталія Степановича Дорофеєва*

ОДЕСА Зовнішрекламсервіс 2012

Проведено експериментальні дослідження залізобетонних балок, підсиленіх залізобетонною обоймою за дії навантаження різного рівня, а саме 0.3, 0.5, 0.7 та 0.9 від  $M_{ul}^{exp}$ . Встановлено, що при підсиленні обоймою досягнуто ефекту підсилення 76...92% в залежності від рівня діючого при підсиленні навантаження. Також встановлено, що безпечним критерієм вичерпання несучої здатності підсиленіх балок може бути досягнення текучості усією арматурою перерізу, як основного так і обойми підсилення.

**Summary**

This article devoted to experimental researches of the strengthen - bending reinforced-concrete elements reinforced under the loading. The and measuring processes are described and the criteria of the load-carrying capacity is proposed.

**Література**

1. С.В. Бондаренко, Усиление железобетонных конструкций при реконструкции зданий / С.В. Бондаренко, Р.С. Санжаровский - Москва Стройиздат., 1990. -352с.
2. Рекомендации по оценке состояния и усилению строительных конструкций промышленных зданий и сооружений. - НИИСК. - М.: Стройиздат, 1989. - 65с.
3. Восстановление и усиление строительных конструкций аварийных и реконструируемых зданий. Атлас схем и чертежей / Малыгин А.И., Плевако В.С., Полищук А.И. - Томск: Томский межотраслевой ЦПТИ, 1990. - 316 с.
4. Kus S. Wzmocnianie konstrukcji zelbetowych przez sprezanie / Kus S . Plewako Z. // II Ogólnopolska Konferencja „Warsztat Pracy Projektanta Konstrukcji”, Ustron, 1998. - Р. 149-161.
5. Ремонт і підсилення несучих і огорожувальних будівельних конструкцій і основ промислових будинків та споруд : ДБН В.3.1-1-2002. [Чинний від 2007-03-07] – К.: Державний комітет України з будівництва і архітектури, 2003. – 82 с. (Державні будівельні норми України).
6. Бліхарський З.Я. Напруженно-деформований стан залізобетонних конструкцій в агресивному середовищі при дії навантаження: дис. ... доктора техн наук : 05.23.01 / Бліхарський Зіновій Ярославович. -- К., 2005. - 348 с.
7. Римар Я.В. Міцність та деформативність залізобетонних балок, підсиленіх під навантаженням нарощуванням арматури: дис. ... кандидата техн наук : 05.23.01 / Римар Ярослав Васильович. -- Львів, 2009. - 135 с.

**МЕХАНИЗМ ФОРМИРОВАНИЯ ПОЛЕЙ ДЕФОРМАЦИЙ ПРИ ЛОКАЛЬНОМ УВЛАЖНЕНИИ СТРОИТЕЛЬНЫХ ИЗДЕЛИЙ**

Хоменко А.А.<sup>1</sup>, асп., Пархоменко Р.В.<sup>2</sup>, Выровой В.Н.<sup>1</sup>, д.т.н., проф.

<sup>1</sup> Одесская государственная академия строительства и архитектуры, Украина

<sup>2</sup> Львовский государственный университет безопасности жизнедеятельности, Украина

Проведенный анализ условий эксплуатации показал, что многие строительные конструкции эксплуатируются в условиях многократного увлажнения и высушивания (например, облицовка каналов, наружные ограждающие конструкции, опоры ЛЭП, опоры и пролетные строения мостов и т.п.) [1]. Изменение влажности приводит к возникновению и развитию в материалах влажностных деформаций набухания и усадки. Чередование знакопеременных влажностных деформаций вызывает необратимые структурные изменения в материале, что может быть одной из причин преждевременного выхода конструкции из рабочего состояния [2, 3]. Анализ характера увлажнения конструкций последующим их высушиванием позволил установить, что для большинства изделий и конструкций характерно неравномерное увлажнение (например, одностороннее увлажнение или местное одностороннее или объемное увлажнение). Одностороннее и/или локальное увлажнение неизбежно вызывает неравномерное распределение влажности по сечению изделия, что должно привести к неравномерному распределению влажностных деформаций. Если представить материал изделия в виде непрерывной капиллярно-пористой среды, то, в зависимости от места и вида возникающих деформаций, они должны определенным образом распределяться по всему объему изделий. Это должно привести к возникновению своеобразной "деформационной волны", которая может изменять свои параметры, как при продолжающемся увлажнении, так и при высушивании. Появление "деформационной волны" предполагает, что, в зависимости от способа локального или одностороннего увлажнения и от геометрических характеристик изделия, в материале конструкции должны развиваться разнонаправленные влажностные деформации, что может провоцировать развитие деформаций сдвига и вызывать, тем самым, изменение структуры материала и, следовательно, его свойств в локальных объемах конструктивного

элемента. В связи с этим была определена задача исследований – проанализировать характер развития влажностных деформаций в строительных изделиях при их локальном и одностороннем увлажнении.

### Анализ характера развития локальных влажностных деформаций

Анализ характера развития локальных влажностных деформаций в строительных изделиях проводили графоаналитическим методом [4]. При одностороннем увлажнении в качестве базового элемента принят элемент сечением  $a \times 3a$ . Для анализа локального увлажнения принят элемент сечения  $a \times 8a$ .

Экспериментальные исследования проводили с использованием стеновых блоков из газобетона размером 600x400x200 мм (одностороннее увлажнение) и бетонных балок размеров 1200x400x200 мм (локальное увлажнение). Схема определения односторонних и локальных влажностных деформаций приведена на рис. 1.

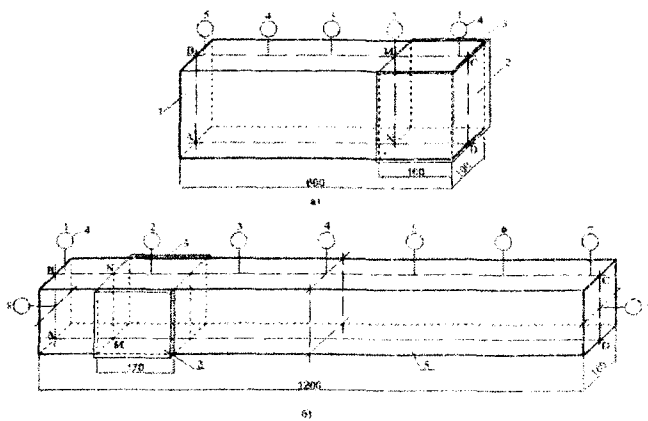


Рис. 1. Схемы определения влажностных деформаций при одностороннем (а) и локальном (б) увлажнении.

1 – стенной блок из газобетона; 2 – гидроизоляция; 3 – материал для водонасыщения; 4 – индикаторы часового типа; 5 – бетонная балка

Увлажнение проводилось путем насыщения влажных тампонов выделенных зон, защищенных гидроизоляцией. После стабилизации влажностных деформаций набухания гидроизоляцию снимали, и определялся характер развития усадочных деформаций.

Анализ развития влажностных деформаций при одностороннем и локальном увлажнении графоаналитическим методом проводили для сечения ABCD, рис. 1, а, б.

При одностороннем увлажнении площадь сечения NMCD увеличивается по схеме, представленной на рис. 2, а.

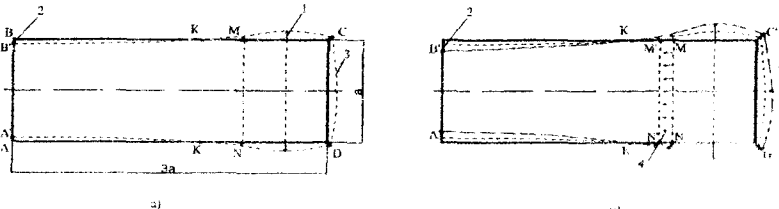


Рис. 2. Характер развития деформаций при начальном (а) и последующем одностороннем увлажнении изделий 1 – направление измерения деформаций набухания отдельных точек; 2 – направление измерения сжатия ненагруженного участка; 3 – изменение геометрических параметров выделенного сечения и опции; 4 – направление перемещения фронта увлажнения

Примем, что локальное изменение объема материала не вызывает нарушения сплошности изделия. Тогда КК деформации увеличиваются из-за сжатия ненагруженного участка. В свою очередь, локальное изменение объема материала определяется принципом взаимодействия грунта с гидроизоляцией и гидроизоляционной системой. По мере проникновения фронта увлажнения (рис. 2, б) увеличивается зона гидроизоляции, что приводит к перемещению точки определения из состояния A в состояние B. Деформации сжатия

Аналогичное распределение деформаций определяется на них при локальном увлажнении и опорной фиксации.

Анализ развития влажностных деформаций при одностороннем и локальном увлажнении позволяет выделить, что в результате сжатия ненагруженного материала в изделиях формируется деформированное напряженное состояние, которое изменяется со временем в результате влажностных деформаций. При этом, независимо от способа насыщения увлажнения (одностороннее или локальное), в материале изделия рождаются и развиваются специфические стоячие затухающие деформационные волны. Длина возникающих волн зависит от соотношения

размеров увлажненных участков и геометрических характеристик изделий. Высота волн (величина влажностных деформаций) зависит от вида материала и геометрических параметров изделий.

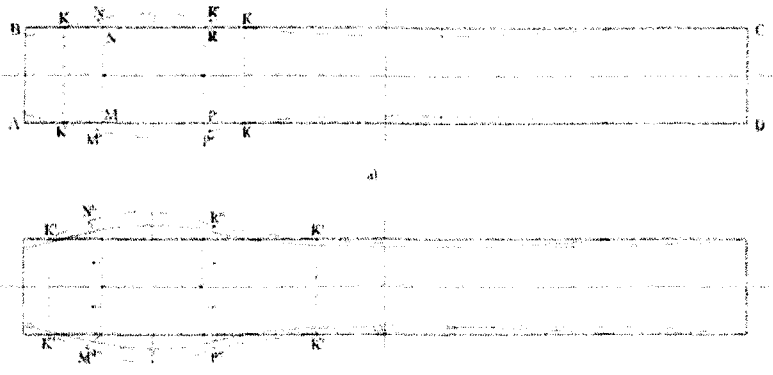


Рис. 3. Характер развития деформаций при начальном (а) и последующем локальном увлажнении линейного элемента

Для экспериментального подтверждения выдвинутых предположений о характере развития деформационных "волн" в изделиях при одностороннем и локальном увлажнении была проведена серия опытов. Анализировали распределение деформаций в стеновом блоке из газобетона ( $\gamma = 600 \text{ кг} / \text{м}^3$ ) и бетонной балке из тяжелого бетона ( $\gamma = 2230 \text{ кг} / \text{м}^3$ ). Применение различных по виду и назначению материалов обосновывается преимущественным влиянием геометрических характеристик изделий на распределение объемных деформаций (влажностных или температурных). Природа материалов и их структурные параметры определяют абсолютные значения деформаций. Использование различных материалов позволяет получать более обобщенные зависимости о характере развития деформаций при неполном (частичном, локальном, одностороннем) увлажнении строительных изделий и конструкций.

Одностороннее увлажнение стенового блока привело к формированию деформационной "волны" вдоль блока. На рис. 4 приведены результаты, полученные в случае одностороннего увлажнения в течение 24 часов, что привело к стабилизации влажностных деформаций и реакции на них ненагруженных участков блока.

В зоне увлажнения произошло набухание материала до  $0.07 \text{ мм}/\text{м}$ . По мере удаления от зоны одностороннего увлажнения деформации

набухания уменьшаются и в центральной части блока переходят в деформации сжатия в 3,7 раз меньше по сравнению с деформациями набухания и постепенно уменьшаются по мере приближения к торцу блока. В результате одностороннего увлажнения сформировалась стоячая волна деформаций, которая включает в себя полуволну влажностных деформаций набухания и затухающую волну в виде деформаций сжатия.

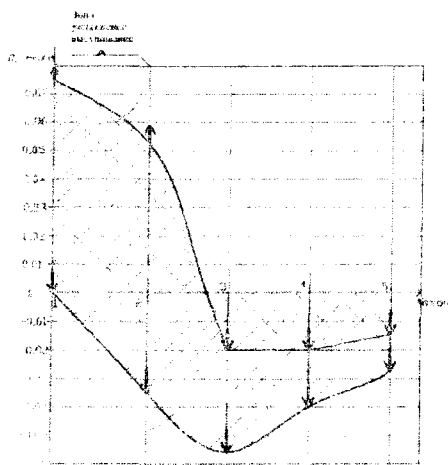


Рис. 4. Деформации стеклового блока при его одностороннем увлажнении и высушивании. 1 – полные деформации при одностороннем увлажнении в течение 24 ч.; 2 – деформации при высушивании в течение 24 ч.

Высыхание образца приводит к развитию деформаций усадки увлажненной части стенового блока. Затухание деформаций усадки произошло после высушивания в течение 24 часов при относительной влажности воздуха  $\varphi = 30\%$  и температуре  $T=22^\circ\text{C}$  (кривая 2, рис. 4).

Деформации усадки увлажненной части блока вызвали перераспределение деформаций по всей его длине. Произошло формирование деформационной волны, в которую входит усадочные деформации и деформации, вызванные реакцией на локальные влажностные деформации. Минимальные деформации сжатия наблюдаются в центральной части блока и уменьшаются на его торце.

Подобное формирование деформационных волн наблюдается при локальном увлажнении бетонной балки (рис. 5).

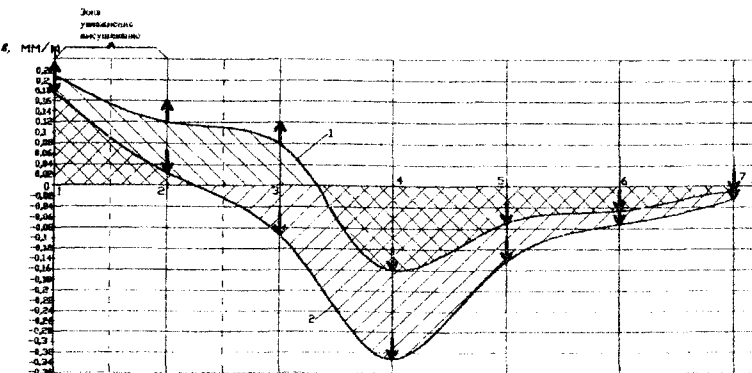


Рис. 5. Деформации бетонной балки при локальном увлажнении и высушивании. 1 – деформации при увлажнении в течение 7 суток; 2 – деформации при высушивании в течение 13 суток

Обращает на себя внимание увеличение длины волн как при локальном увлажнении (кривая 1, рис. 5), так и при локальном высыхании (кривая 2, рис. 5), что может быть связано с изменением геометрических размеров балки по сравнению с геометрическими размерами и методом увлажнения стенового блока.

### Выходы

Проведенные экспериментальные исследования показали, что при локальном увлажнении и высушивании строительных изделий в их материале возникают неравномерные знакопеременные деформации. Это ведет к формированию деформационных волн в изделиях, параметры которых определяются геометрическими характеристиками изделий и расположением локальных участков изменения влажности. Вид материала оказывает влияние на кинетику развития и величину влажностных деформаций. Знакопеременные деформации, возникающие при формировании деформационных волн, могут быть причиной структурных изменений материала изделий и конструкций и, в итоге, преждевременному выходу конструкции из режима нормального функционирования.

### Summary

The paper presents an analysis of the nature of the local deformations as a result the local and sided humidification of building products.

### Литература

1. Мишутин А.В., Мишутин Н.В. Повышение долговечности бетонов морских железобетонных плавучих и стационарных сооружений. Одесса. Эвен. 2011.
2. Александровский С. В. Расчет бетонных и железобетонных конструкций на изменения температуры и влажности с учетом ползучести. – М.: Стройиздат, 1973.
3. Цилоссани З. Н. Усадка и ползучесть бетона. Тбилиси. Мецниеба. 1979.
4. В. И. Соломатов, В. Н. Выровой, В. С. Дорофеев, А. В. Сиренко. Композиционные строительные материалы и конструкции пониженной материалоемкости. -- К.: Будівельник, 1991.

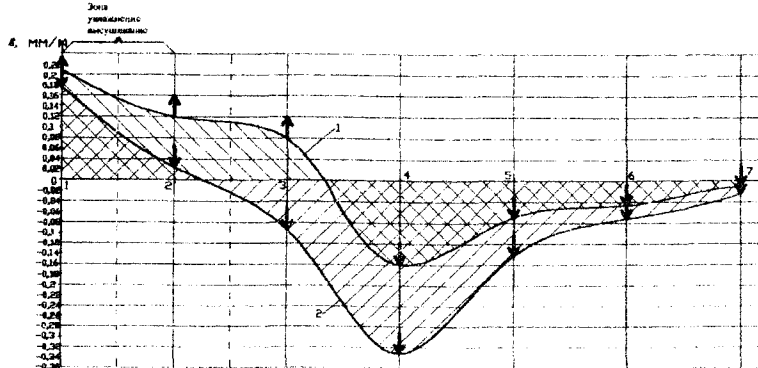


Рис. 5. Деформации бетонной балки при локальном увлажнении и высушивании. 1 – деформации при увлажнении в течение 7 суток; 2 – деформации при высушивании в течение 13 суток

Обращает на себя внимание увеличение длины волн как при локальном увлажнении (кривая 1, рис. 5), так и при локальном высыхании (кривая 2, рис. 5), что может быть связано с изменением геометрических размеров балки по сравнению с геометрическими размерами и методом увлажнения стенового блока.

### Выходы

Проведенные экспериментальные исследования показали, что при локальном увлажнении и высушивании строительных изделий в их материале возникают неравномерные знакопеременные деформации. Это ведет к формированию деформационных волн в изделиях, параметры которых определяются и геометрическими характеристиками изделий и расположением локальных участков изменения влажности. Вид материала оказывает влияние на кинетику развития и величину влажностных деформаций. Знакопеременные деформации, возникающие при формировании деформационных волн, могут быть причиной структурных изменений материала изделий и конструкций и, в итоге, преждевременному выходу конструкции из режима нормального функционирования.

### Summary

The paper presents an analysis of the nature of the local deformations as a result the local and sided humidification of building products.

### Литература

1. Мишутин А.В., Мишутин Н.В. Повышение долговечности бетонов морских железобетонных плавучих и стационарных сооружений. Одесса. Эвен. 2011.
2. Александровский С. В. Расчет бетонных и железобетонных конструкций на изменения температуры и влажности с учётом ползучести. – М.: Стройиздат, 1973.
3. Цилоссани З. Н. Усадка и ползучесть бетона. Тбилиси. Мецниеба. 1979.
4. В. И. Соломатов, В. Н. Выровой, В. С. Дорофеев, А. В. Сиренко. Композиционные строительные материалы и конструкции пониженной материалоемкости. -- К.: Будівельник, 1991.